

(本试剂盒仅供体外研究使用， 不用于临床诊断！)

产品货号：E-BC-K071-M

产品规格：48T(31 samples)/96T(79 samples)

检测仪器：酶标仪(510-530 nm)

Elabscience[®]总铁结合力(TIBC)比色法测试盒

Total Iron Binding Capacity (TIBC)

Colorimetric Assay Kit

使用前请仔细阅读说明书。如果有任何问题，请通过以下方式联系我们：

电话：400-999-2100

邮箱：biochemical@elabscience.cn

网址：www.elabscience.cn

具体保质期请见试剂盒外包装标签。请在保质期内使用试剂盒。

联系时请提供产品批号(见试剂盒标签)，以便我们更高效地为您服务。

用途

本试剂盒适用于检测血清样本中总铁结合力。

检测原理

血清内加入过量铁，使血清中运铁蛋白全部与铁结合，再加入铁吸附剂将多余的铁吸附掉，然后在酸性溶液和还原剂的作用下，使运铁蛋白中铁与蛋白分离，使血清中高铁还原成亚铁，后者与双吡啶结合成粉红色络合物，在一定范围内，铁离子多少与色泽呈正相关，测得的铁含量为 TIBC，由 TIBC 减去血清铁值，则称为未饱和铁结合力(UIBC)。

提供试剂和物品

| 编号 | 名称 | 规格 1 (Size 1)(48 T) | 规格 2 (Size 2)(96 T) | 保存方式 (Storage) |
|--------------------|--|------------------------|------------------------|---------------------|
| 试剂一 (Reagent 1) | 100 mg/L 铁标准储备液 (100 mg/L Iron Standard Stock Solution) | 2 mL×1 瓶 | 2 mL×1 瓶 | 2-8 ℃ 保存 6 个月 |
| 试剂二 (Reagent 2) | 显色剂 A (Chromogenic Agent A) | 粉剂×1 支 | 粉剂×2 支 | 2-8 ℃ 避光 保存 6 个月 |
| 试剂三 (Reagent 3) | 显色剂 B (Chromogenic Agent B) | 粉剂×1 支 | 粉剂×2 支 | 2-8 ℃ 避光 保存 6 个月 |
| 试剂四 (Reagent 4) | 显色剂 C (Chromogenic Agent C) | 15 mL×1 瓶 | 15 mL×2 瓶 | 2-8 ℃ 保存 6 个月 |
| 试剂五 (Reagent 5) | 铁吸附剂 (Iron Absorbent) | 粉剂×31 支 | 粉剂×79 支 | 2-8 ℃ 保存 6 个月 |
| | 96 孔酶标板 | | 1 板 | |
| | 96 孔覆膜 | | 2 张 | |
| | 样本位置标记表 | | 1 张 | |

说明：试剂严格按上表中的保存条件保存，不同批次试剂盒中的试剂不能混用。

所需自备物品

仪器：酶标仪(510-530 nm, 最佳检测波长 520 nm)、涡旋混匀仪、恒温水浴锅(100 ℃)、磁力搅拌器、离心机、烧杯(25 mL)。

耗材：枪头(1000 μL, 200 μL, 10 μL)、EP 管(1.5 mL)、磁力搅拌子。

试剂：双蒸水。

试剂准备

① 检测前，试剂盒中的试剂平衡至室温。

② 铁显色剂的配制：

取一支试剂二和一支试剂三，用15 mL试剂四搅拌溶解，2-8 ℃避光保存1个月。

③ 不同浓度标准品的稀释：

| 编号 | ① | ② | ③ | ④ | ⑤ | ⑥ | ⑦ | ⑧ |
|------------------|----------|----------|-----------|-----------|-----------|-----------|-----------|-----------|
| 标准品浓度(mg/L) | 0 | 5 | 10 | 20 | 25 | 30 | 40 | 50 |
| 100 mg/L 标准品(μL) | 0 | 10 | 20 | 40 | 50 | 60 | 80 | 100 |
| 双蒸水(μL) | 200 | 190 | 180 | 160 | 150 | 140 | 120 | 100 |

样本准备

① 样本处理

血清（浆）、唾液等液体样本：可直接测定。

② 样本的稀释

在正式检测前，需选择预期差异较大的2-3个样本，稀释成不同浓度进行预实验，结合检测范围：0.31-50 mg/L，不同样本稀释比例如下表(仅供参考)：

| 样本 | 稀释倍数 | 样本 | 稀释倍数 |
|------|------|-------|------|
| 人血清 | 不稀释 | 兔血清 | 不稀释 |
| 大鼠血清 | 不稀释 | 鸡血清 | 不稀释 |
| 猪血清 | 不稀释 | 食蟹猴血清 | 不稀释 |

注：稀释液为双蒸水。

实验关键点

- ① 沸水浴后离心，上清液必须澄清。
- ② 实验器具一定要洗干净，避免铁离子污染。
- ③ 粉剂比较难溶解，需提前配制。

操作步骤

标曲部分

- ① 标准孔：取 30 μL 不同浓度标准品，加入到对应的标准孔中。
- ② 向①中各孔加入 150 μL 铁显色剂。
- ③ 在酶标仪上振板 5 s，覆膜室温静置 5 min，酶标仪 520 nm 处，测定各孔 OD 值。

样本部分

待测样本上清的制备：取 50 μL 血清，加入 50 μL 的 10 mg/L 铁标准品应用液，涡旋混匀 3 s，室温静置 5 min，再加入一支试剂五，涡旋混匀 3 s，室温静置 5 min 后， $3000 \times g$ ，离心 10 min，取上清待测。

- ① 测定管：取 50 μL 待测样本上清到 1.5 mL EP 管中。
对照管：取 50 μL 双蒸水到 1.5 mL EP 管中。
- ② 向①中各管加入 250 μL 铁显色剂，涡旋混匀 3 s，沸水浴 5 min。
- ③ 流水冷却， $10000 \times g$ ，离心 10 min。(若上清浑浊，取浑浊上清于新 EP 管中，再离心一次)
- ④ 取 180 μL 上清到板孔中，酶标仪 520 nm 处，测定各孔 OD 值。

操作表

标曲操作表

| | 标准孔 |
|---|-----|
| 不同浓度标准品(μL) | 30 |
| 铁显色剂(μL) | 150 |
| 在酶标仪上振板 5 s, 覆膜室温静置 5 min, 酶标仪 520 nm 处, 测定各孔 OD 值。 | |

样本操作表

| | 对照管 | 测定管 |
|--|-----|-----|
| 双蒸水(μL) | 50 | -- |
| 待测样本上清(μL) | -- | 50 |
| 铁显色剂(μL) | 250 | 250 |
| 涡旋混匀 3 s, 沸水浴 5 min, 流水冷却, 10000 × g, 离心 10 min, 取 180 μL 上清到板孔中, 酶标仪 520 nm 处, 测定各孔 OD 值。 | | |

结果计算

标准品拟合曲线: $y = ax + b$

血清总铁结合力计算公式:

$$\text{TIBC} \text{ (mg/L)} = (\Delta A_{520} - b) \div a \times f$$

$$\text{或 } \text{TIBC} \text{ (μmol/L)} = (\Delta A_{520} - b) \div a \times f \times c_1$$

$$\text{UIBC} \text{ (μmol/L)} = c_3 - c_2$$

$$i = c_2 \div c_3 \times 100 \%$$

注解:

a: 标曲斜率

b: 截距

y: 标准品 OD 值-空白 OD 值(标准品浓度为 0 时的 OD 值)

x: 吸光度对应的浓度

ΔA_{520} : 样本测定 OD 值-对照 OD 值

f: 样本加入检测体系之前的稀释倍数

c₁: 17.91 μmol/L(1 mg/L 铁标准品=17.91 μmol/L)

c₂: 血清铁浓度(μmol/L)

c₃: 总铁结合力 TIBC(μmol/L)

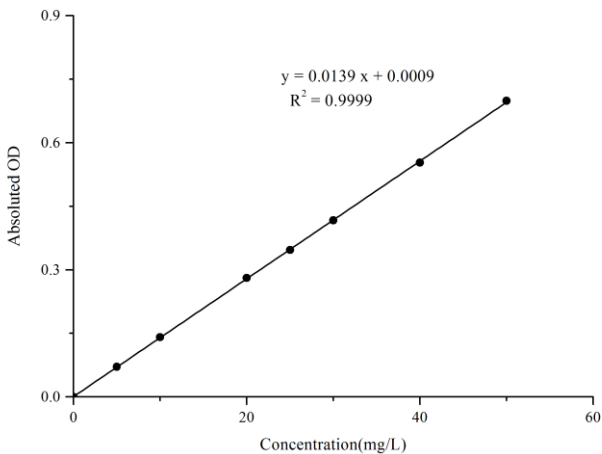
i: 铁饱和度%

附录1 关键数据

1. 技术参数

| | | | |
|-------|--------------|-------|-------|
| 检测范围 | 0.31-50 mg/L | 平均批间差 | 2.3 % |
| 灵敏度 | 0.14 mg/L | 平均批内差 | 1.5 % |
| 平均回收率 | 100 % | | |

2. 标准曲线(数据仅供参考)



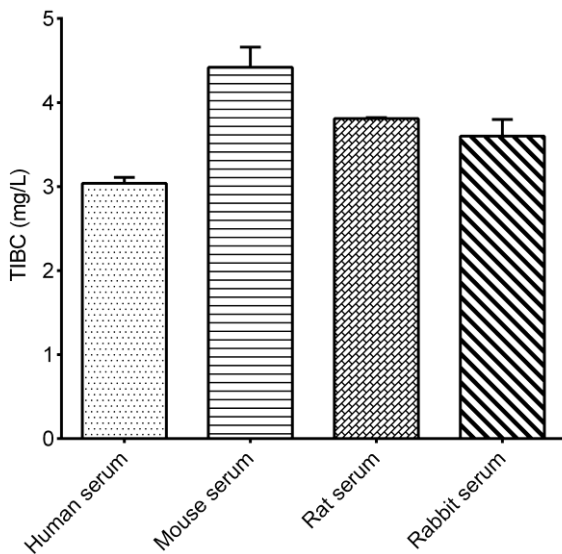
附录2 实例分析

例：(数据仅供参考)

取50 μL人血清样本，按照说明书操作，结果如下：TIBC的标准曲线： $y = 0.014x - 0.0009$ ，测定孔平均OD值为0.080，对照孔平均OD值为0.038，计算结果为：

$$\text{TIBC (mg/L)} = (0.080 - 0.038 + 0.0009) \div 0.014 = 3.06 \text{ mg/L}$$

按照说明书操作，测定人血清(加样量50 μL)、小鼠血清(加样量50 μL)、大鼠血清(加样量50 μL)和兔血清(加样量50 μL)中总铁结合力 (如下图)。



附录3 问题答疑

| 问题 | 可能原因 | 建议解决方案 |
|-----------------|----------------|--|
| 样本显色低 | 沸水浴时间太短 | 保证充足的沸水浴时间 |
| 空白 OD 值高 | 配制显色剂的容器被污染 | 将容器用 10% 的盐酸浸泡 24 h, 用超声清洗仪清洗 10 min, 再用去离子水洗净 |
| 对照 OD 值高 | EP 管被污染(或同上) | 更换新的 EP 管(或同上) |
| 样本测量结果偏大 | 上清液浑浊 | 取浑浊上清液再次离心直至澄清 |
| 样本测不出值 | 样本稀释倍数太大 | 选择合适稀释倍数, 重新检测 |
| | 样本保存时间过长或者保存不当 | 取新鲜样本, 重新检测 |
| 样本测量结果 >50 mg/L | 样本浓度太高 | 选择合适稀释倍数, 重新检测 |

声明

- 试剂盒仅供研究使用，如将其用于临床诊断或任何其他用途，我公司将不对因此产生的问题负责，亦不承担任何法律责任。
- 实验前请仔细阅读说明书并调整好仪器，严格按照说明书进行实验。
- 实验中请穿着实验服并戴乳胶手套做好防护工作。
- 试剂盒检测范围不等同于样本中待测物的浓度范围。如果样品中待测物浓度过高或过低，请对样本做适当的稀释或浓缩。
- 若所检样本不在说明书所列样本类型之中，建议先做预实验证其检测有效性。
- 最终的实验结果与试剂的有效性、实验者的相关操作以及实验环境等因素密切相关。本公司只对试剂盒本身负责，不对因使用试剂盒所造成的样本消耗负责，使用前请充分考虑样本可能的使用量，预留充足的样本。

附录4 客户发表文献

1. Zeng B, Huang Y, Chen S, et al. Dextran sodium sulfate potentiates NLRP3 inflammasome activation by modulating the KCa3.1 potassium channel in a mouse model of colitis[J]. *Cellular & Molecular Immunology*. IF:22.096
2. Ruan F,Zeng J,Yin H, et al. RNA m6A Modification Alteration by Black Phosphorus Quantum Dots Regulates Cell Ferroptosis: Implications for Nanotoxicological Assessment[J]. *Small Methods*, 2021, 5(3): e2001045 IF:12.13
3. Tian H, Zhou L, Wang Y, et al. A targeted nanomodulator capable of manipulating tumor microenvironment against metastasis. *J Control Release*. 2022; 348:590-600. IF:11.467
4. Pan C, Yan M H, Jin H B, et al. Chronic exposure to MC-LR increases the risks of microcytic anemia: Evidence from human and mice[J]. *Environmental Pollution*, 2021, 288, 117966. IF:8.07
5. Gao W,Huang Z,Duan J, et al. Elesclomol induces copper-dependent ferroptosis in colorectal cancer cells via degradation of ATP7A[J]. *Molecular Oncology*. IF:6.603
6. Sun Z, Yue Z, Liu H, et al. Microbial-Assisted Wheat Iron Biofortification Using Endophytic Bacillus altitudinis WR10[J]. *Frontiers in Nutrition*, 2021:476-. IF:6.576
7. Yy A, Sw A, Kc A, et al. Upregulation of autophagy in M2 macrophage by vitamin D alleviates crystalline silica-induced pulmonary inflammatory damage[J]. *Ecotoxicology and Environmental Safety*, 225. IF:5.248
8. Carafa V, Russo R, Della Torre L, et al. The Pan-Sirtuin Inhibitor MC2494 Regulates Mitochondrial Function in a Leukemia Cell Line[J]. *Frontiers in Oncology*, 2020, 10: 820. IF:4.848
9. Su B , Li A , Deng M R , et al. Transcriptome Analysis Reveals a Promotion of Carotenoid Production by Copper Ions in Recombinant *Saccharomyces cerevisiae*[J]. *Microorganisms*, 2021, 9(2):233. IF:4.128
10. Rana M. Adel, Rania A. Lotfy, Atef S. Darwish, et al. Destructive effect of iron overload in brain tissue of albino rats: Ameliorative role of silver immobilized organo-modified casein nanocomposite as co-treating agent with Deferasirox[J]. *Journal of Trace Elements in Medicine and Biology*, 2021 Sep;67:126794. IF:3.849
11. Gao Q, Li X, Su S, et al. Deletion of the c2515 and c2516 genes affects iron uptake and virulence of APEC O1 strain E516[J]. *Frontiers in Veterinary Science*, 2021, 8. IF:3.412
12. ul Haq M E, Akash M S H, Rehman K, et al. Chronic exposure of bisphenol A impairs carbohydrate and lipid metabolism by altering corresponding enzymatic and metabolic

- pathways[J]. Environmental Toxicology and Pharmacology, 2020: 103387. IF:3.292
- 13. Surendran V, Chiulli T, Manoharan S, et al. Acoustofluidic Micromixing Enabled Hybrid Integrated Colorimetric Sensing, for Rapid Point-of-Care Measurement of Salivary Potassium[J]. Biosensors, 2019, 9(2): 73. IF:3.24
 - 14. Elblehi SS, El-Sayed YS, Soliman MM, Shukry M. Date Palm Pollen Extract Avert Doxorubicin-Induced Cardiomyopathy Fibrosis and Associated Oxidative/Nitrosative Stress, Inflammatory Cascade, and Apoptosis-Targeting Bax/Bcl-2 and Caspase-3 Signaling Pathways[J]. Animals (Basel). 2021 Mar 20;11(3):886. doi: 10.3390/ani11030886. IF:2.752
 - 15. Mohammed M E, Abbas A M, Badi R M, et al. Effect of Acacia senegal on TGF- β 1 and vascular mediators in a rat model of diabetic nephropathy[J]. Archives of physiology and biochemistry, 2020: 1-11. IF:2.575
 - 16. Soo T, See S, Bhassu S. Potential muscle activity disturbance in Penaeus monodon during Acute Hepatopancreatic Necrosis Disease (AHPND) infection: Inference through gene expression, calcium concentration, and MicroRNA - ScienceDirect[J]. Journal of Invertebrate Pathology, 2020, 177. IF:2.074